

# PROYECTO FUNDAMENTOS DE ROBÓTICA:

## JUAN DE DIOS HERRERA HURTADO

### Análisis dinámico

#### Apartado 1-3

Comenzaremos calculando el radio de las barras de nuestros eslabones:

$$R = \frac{L_1}{20} = \frac{0.4}{20} = 0.02 \text{ m}$$

Para el cálculo de los tensores de inercia, usaremos la siguiente fórmula para la componente que coincide con el eje longitudinal de la barra:

$$I = \frac{1}{2} * m * R^2$$

Para las otras dos componentes usaremos:

$$I = \frac{1}{12} * m * (3 * R^2 + h^2)$$

Siendo 'h' la longitud de la barra. Estas ecuaciones se han obtenido de:

[https://es.wikipedia.org/wiki/Anexo:Tensores\\_de\\_momento\\_de\\_inercia\\_3D](https://es.wikipedia.org/wiki/Anexo:Tensores_de_momento_de_inercia_3D), el penúltimo caso.

Todo el cálculo de los tensores de inercia I1, I2, I3, se calculan en el script con nombre "Modelo\_dinamico.m".

Haciendo uso del script “NE\_R3GDL.m” y adaptándolo con los datos de nuestro brazo, obtenemos las siguientes ecuaciones:

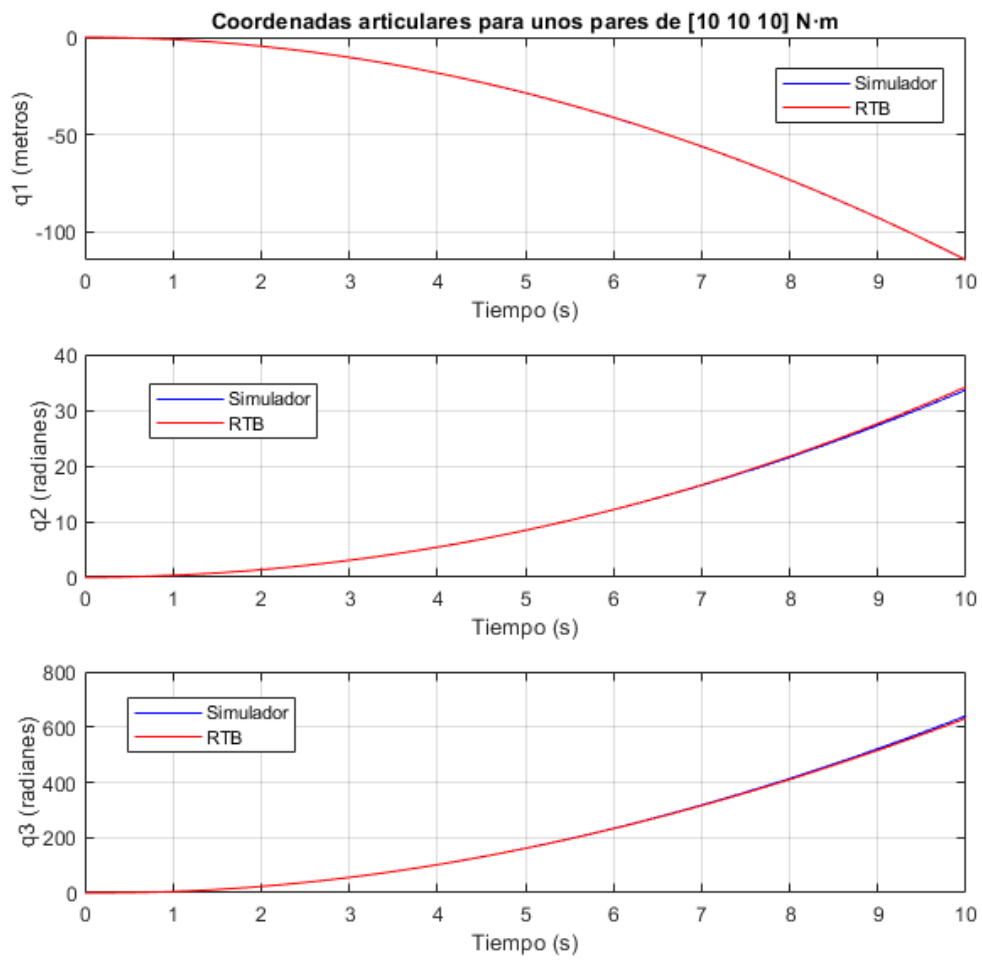
$$M_a = \begin{bmatrix} 46.875 & 0 & 0.76 * \cos(q3) \\ 0 & 0.76 * \cos(q3) + 0.2022 * \cos(q3)^2 + 14.725 & -0.152 * \sin(q3) \\ 0.76 * \cos(q3) & -0.152 * \sin(q3) & 0.678 \end{bmatrix}$$

$$V_a = \begin{bmatrix} -0.76 * \sin(q3) * q3'^2 + 0.0225 * q1' \\ 0.0144 * q2' - 0.0004 * q3' * (380 * q3' * \cos(q3) + 1900 * q2' * \sin(q3) + 1011 * q2' * \cos(q3) * \sin(q3)) \\ 0.0225 * q3' + 0.0001 * q2'^2 * (1011 * \sin(2 * q3) + 3800 * \sin(q3)) \end{bmatrix}$$

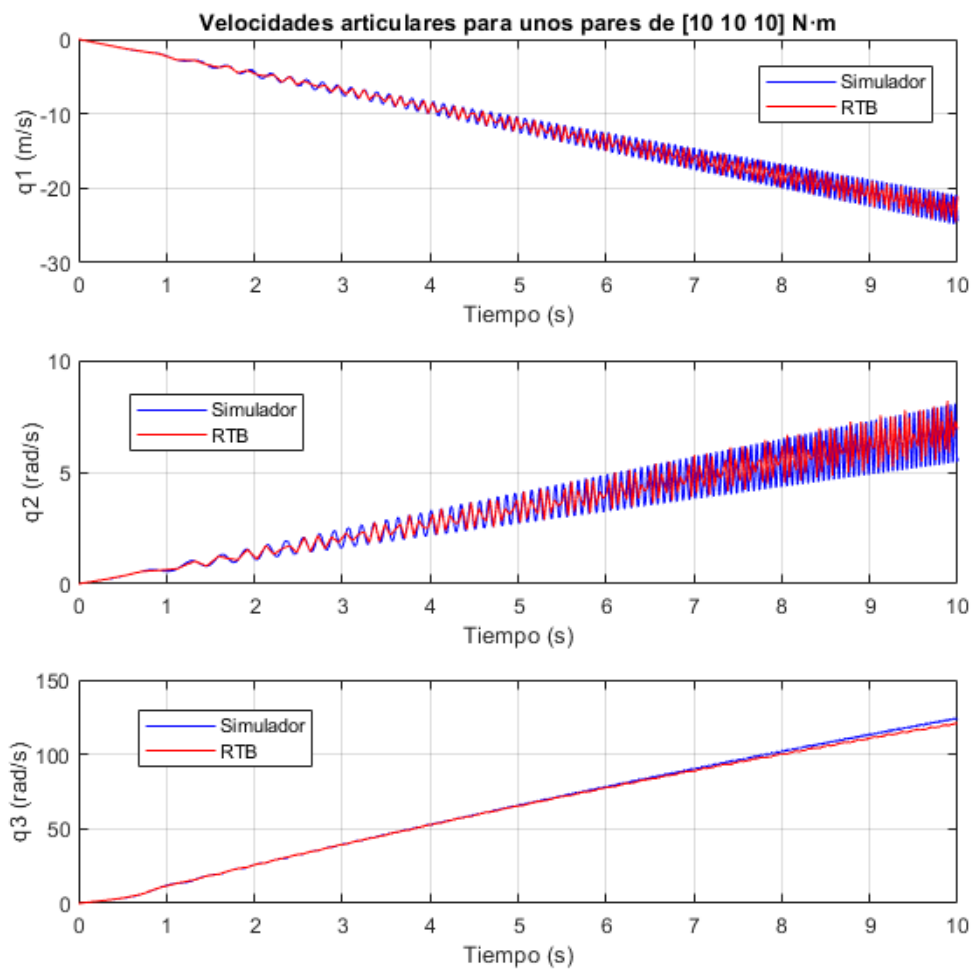
$$G_a = \begin{bmatrix} 12 * g \\ 0 \\ 0.76 * g * \cos(q3) \end{bmatrix}$$

Ahora pasamos al archivo “ModeloDinamico\_R3GDL” estas ecuaciones adecuadamente. Por otro lado, pasamos al script “RTB\_Robot\_3GDL.m”, la cinemática y la dinámica de nuestro robot para comparar resultados.

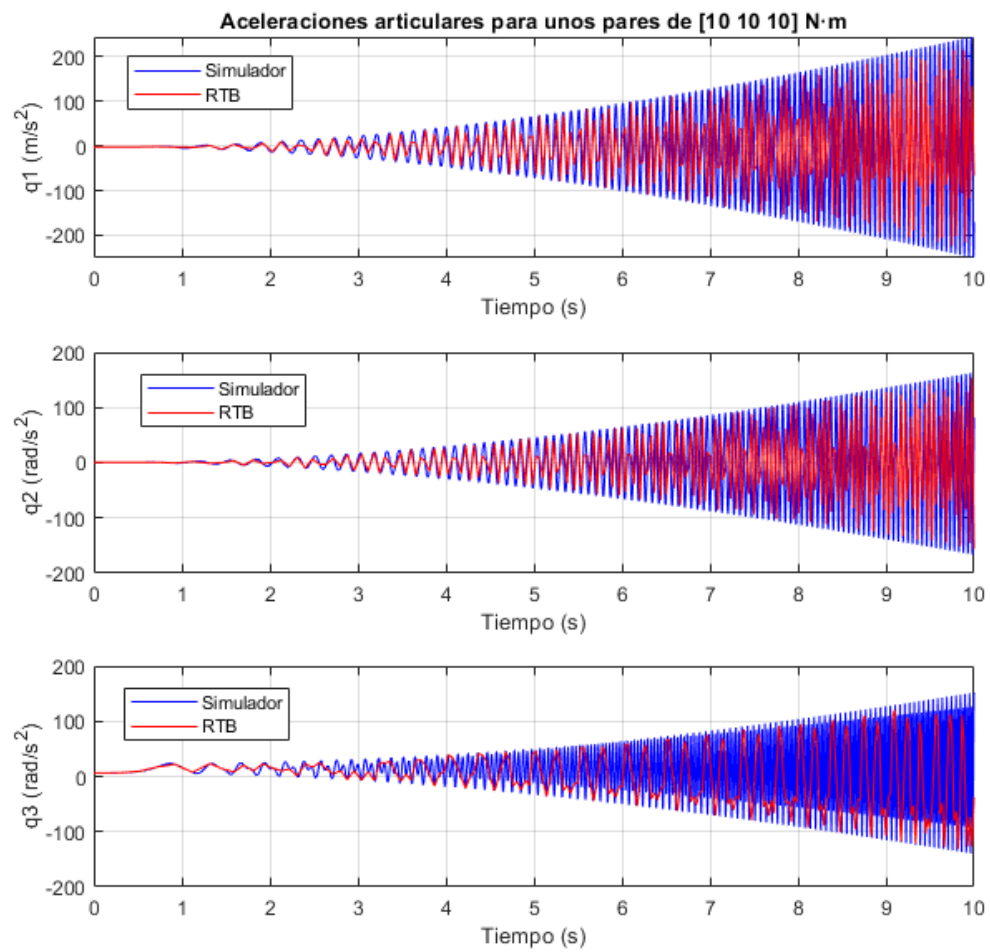
Ejecutando el archivo de Simulink correspondiente al simulador y al RTB respectivamente, se obtienen las siguientes gráficas:



[q1 q2 q3]



[q1' q2' q3']



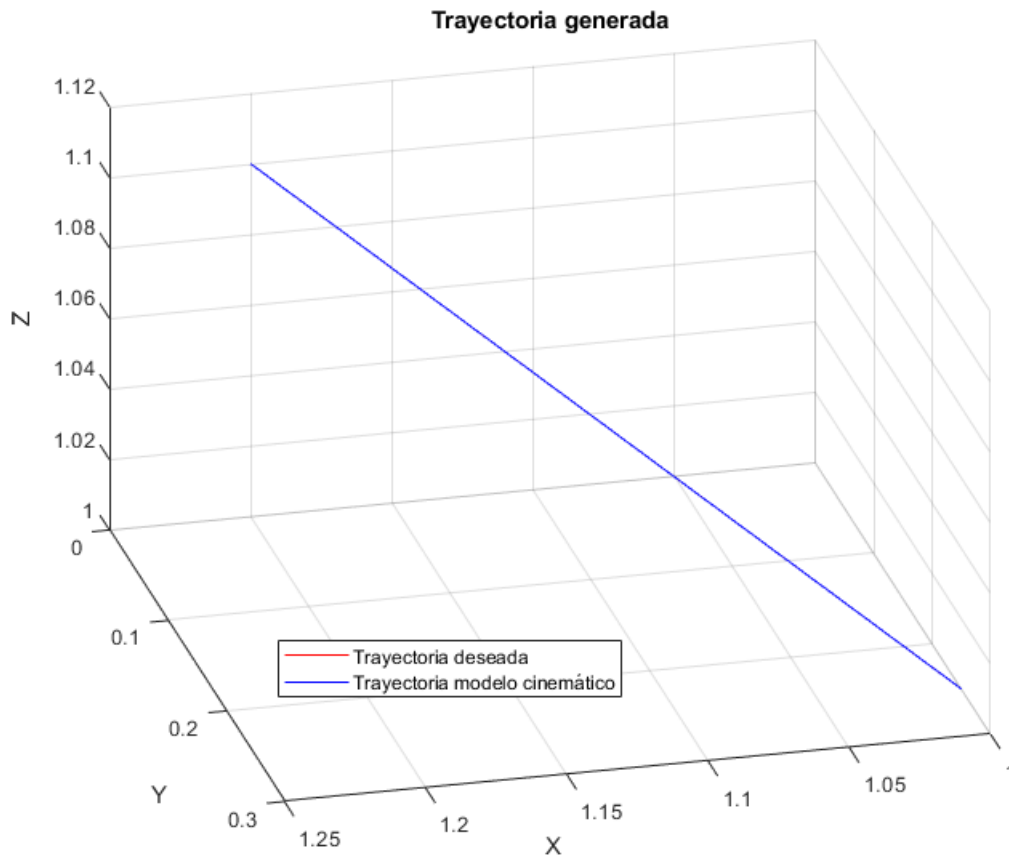
[ $q1''$   $q2''$   $q3''$ ]

Como se puede observar, se obtienen resultados similares para posiciones, velocidades y aceleraciones.

## Control cinemático

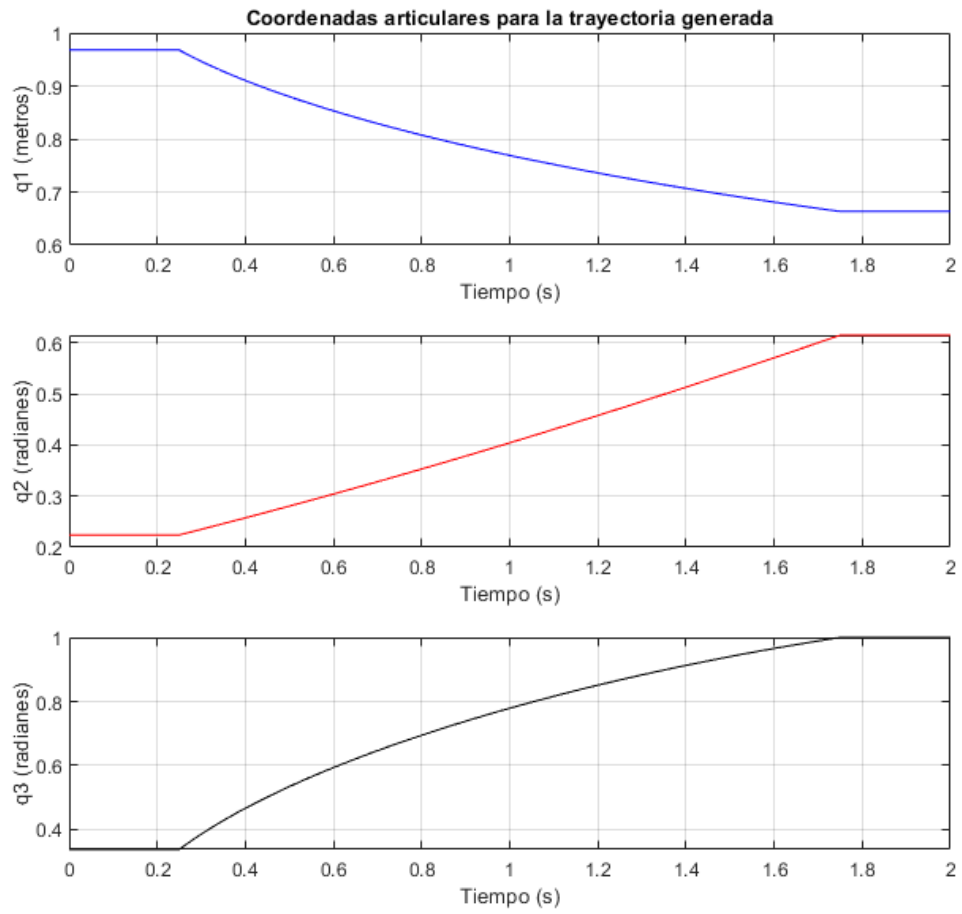
### Apartado 1-2

La trayectoria generada será una línea recta desde el punto  $[1.2 \ 0 \ 1.1]$  hasta el punto  $[1 \ 0.25 \ 1]$ . La simulación será de 2 segundos, el movimiento comenzará en el instante 0.25 y concluirá en el instante 1.75. La trayectoria obtenida es la siguiente:



Vemos que la trayectoria deseada, y la obtenida al pasar por la cinemática inversa y luego por la cinemática directa, coinciden.

Y las coordenadas articulares que se han obtenido para seguir esta trayectoria son:



## Control dinámico

### Apartado 1

Se implementará un controlador PD con cancelación de dinámica, para ello obtenemos primero las funciones de transferencia a partir de las matrices Ma, Va y Ga obtenidas en el apartado de análisis dinámico:

$$G_{11}(s) = \frac{1}{46.875 * s + 0.0225}$$

$$G_{22}(s) = \frac{1}{15.6872 * s + 0.0144}$$

$$G_{33}(s) = \frac{1}{0.678 * s + 0.0225}$$

Los parámetros del controlador se encuentran en el archivo “Controlador\_PD\_cancelacion.m”, pero se han calculado usando lo siguiente:

$$K_{ci} = 3 * \frac{b_i}{t_s} \quad ; \quad T_{di} = \frac{a_i}{b_i}$$

$$K_{pi} = K_{ci} \quad ; \quad K_{di} = K_{ci} * T_{di}$$

$$K_{ii} = 0$$

A partir de estas expresiones e imponiendo un tiempo de subida de 0.1 segundos llegamos a los parámetros del controlador:

$$K_{p1} = 0.675; K_{d1} = 1.4063 * 10^3; K_{i1} = 0$$

$$K_{p2} = 0.432; K_{d2} = 470.616; K_{i2} = 0$$

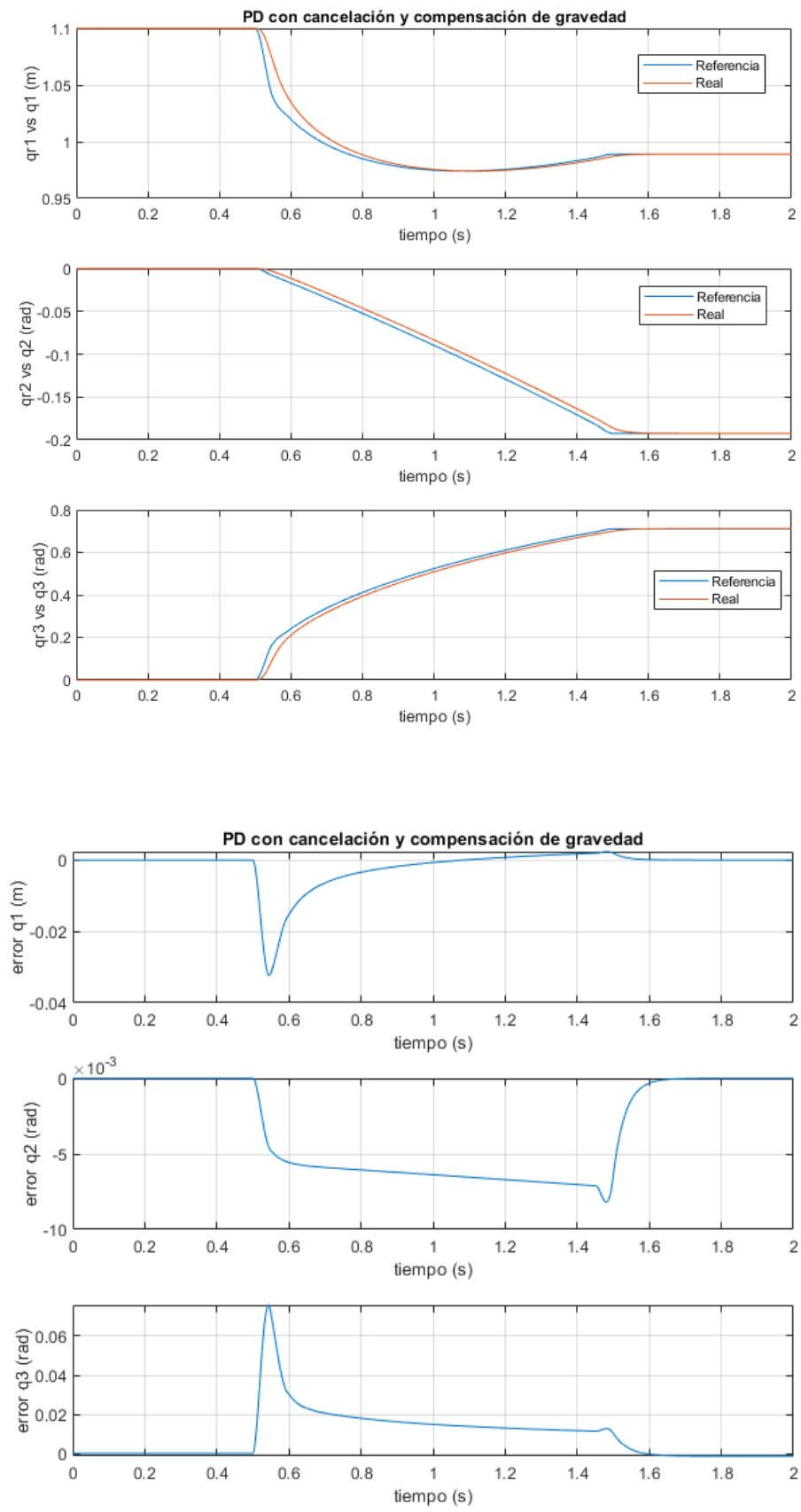
$$K_{p3} = 0.675; K_{d3} = 20.34; K_{i3} = 0$$

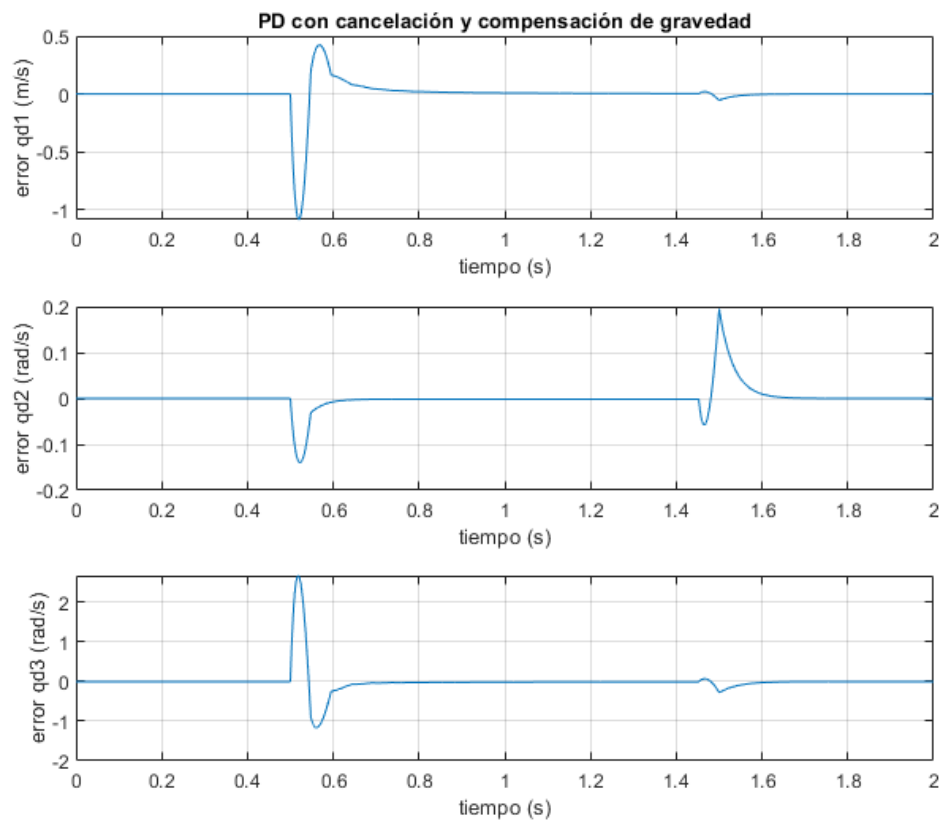
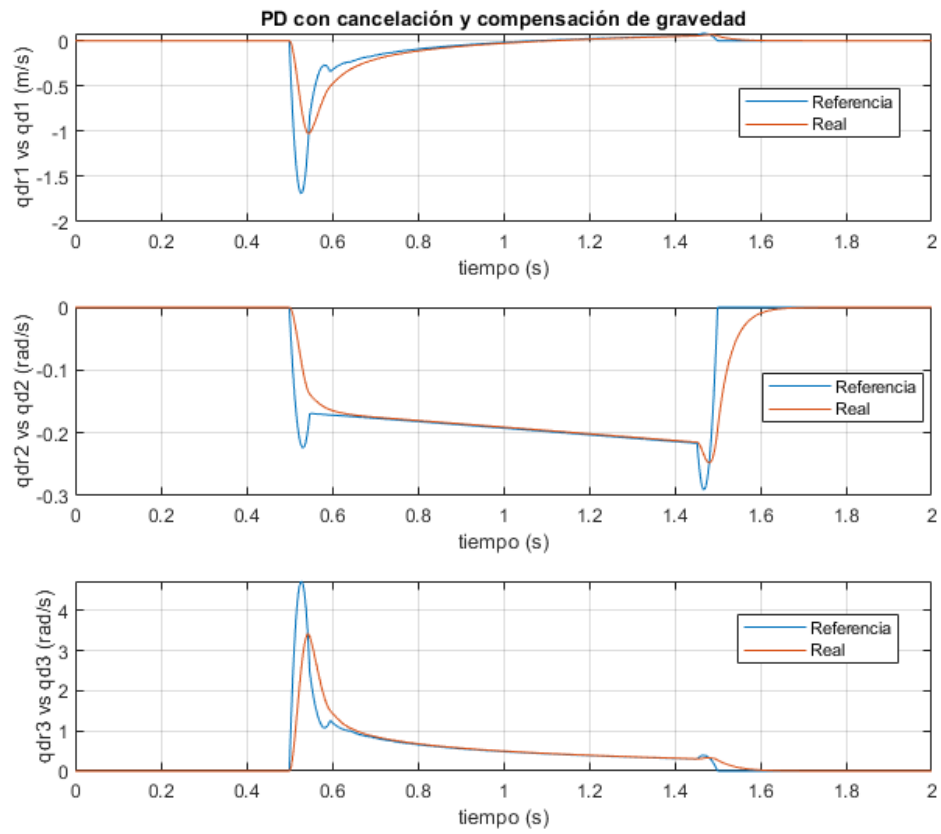
Se ha aplicado la trayectoria del apartado 4 al resto de apartados, del 1-3.

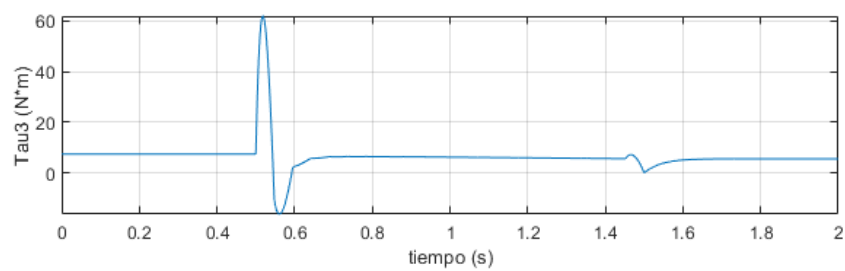
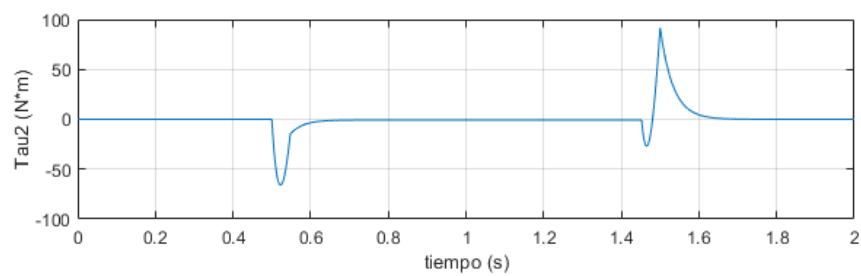
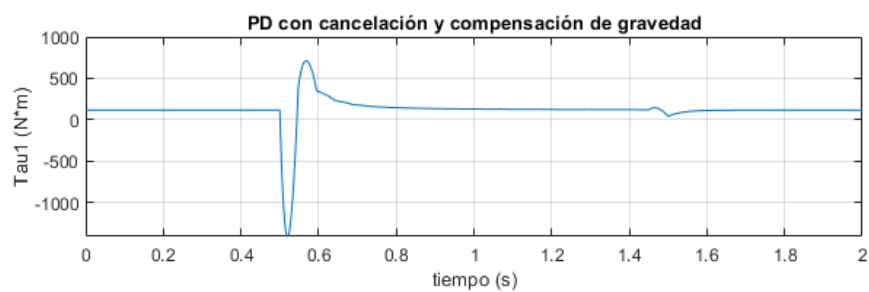
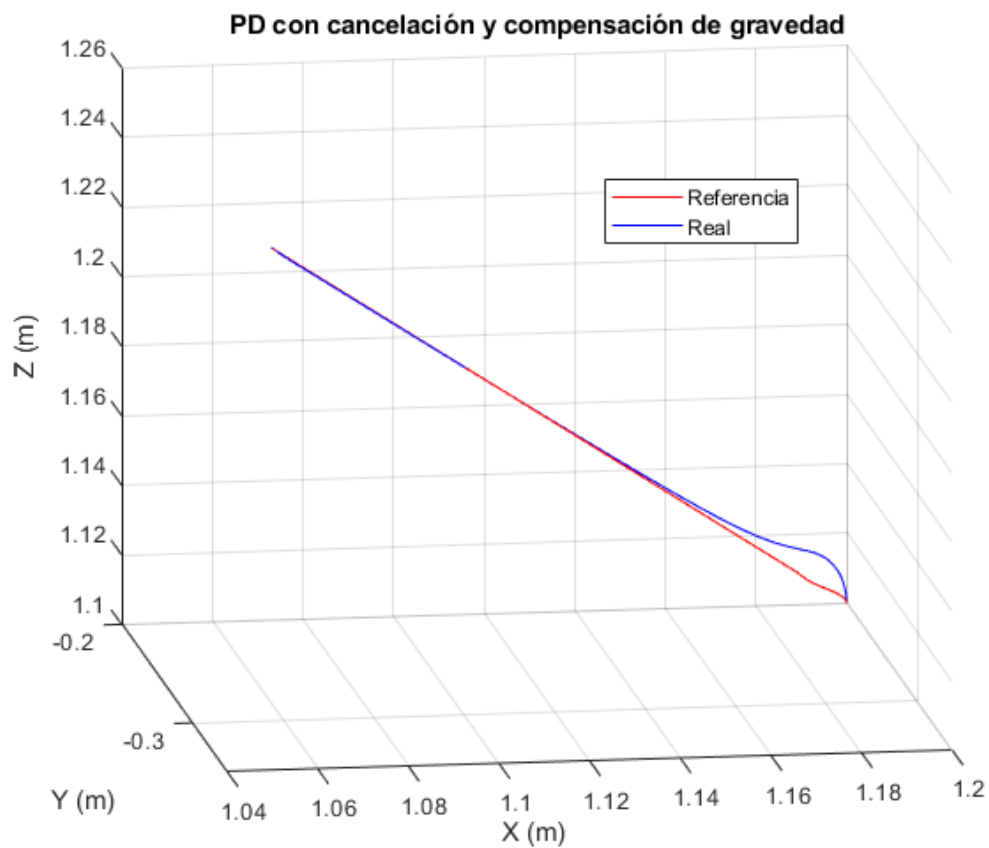
Se ha usado compensación de gravedad ya que algunos parámetros distaban demasiado de la referencia.



Se obtiene:







## Apartado 2

Se implementará un controlador PID con cancelación de dinámica haciendo uso de las mismas funciones de transferencia anteriormente mencionadas. En este caso las expresiones usadas son:

$$\tau_1 = \frac{a_i}{b_i} \quad ; \quad \tau_2 = \frac{t_s}{3}$$

$$K_{ci} = b_i * \frac{36}{t_s^2} \quad ; \quad K_{ii} = K_{ci}$$

$$K_{di} = K_{ii} * \tau_1 * \tau_2 \quad ; \quad K_{pi} = K_{ii} * (\tau_1 + \tau_2)$$

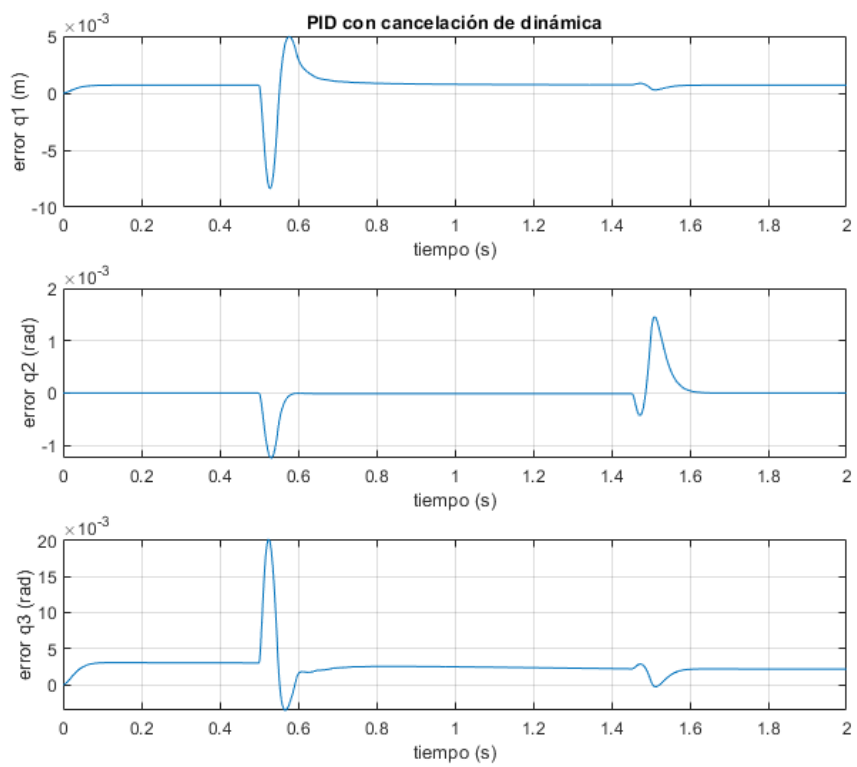
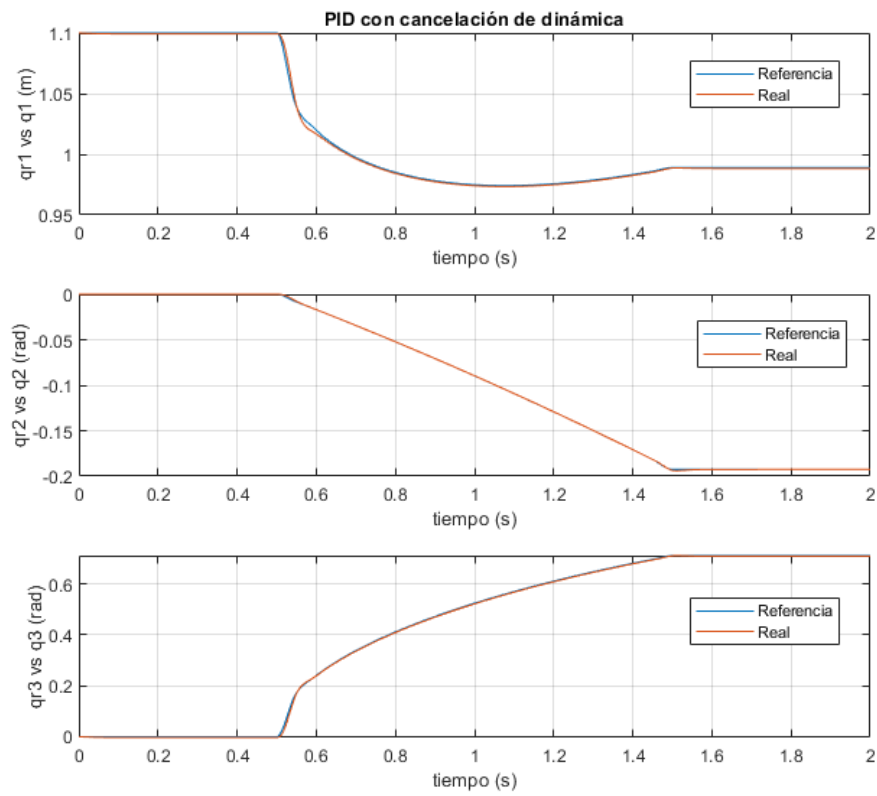
Imponiéndose nuevamente 0.1 segundos de tiempo de subida. Los parámetros del controlador se encuentran en el archivo "Controlador\_PID\_cancelacion.m" y son:

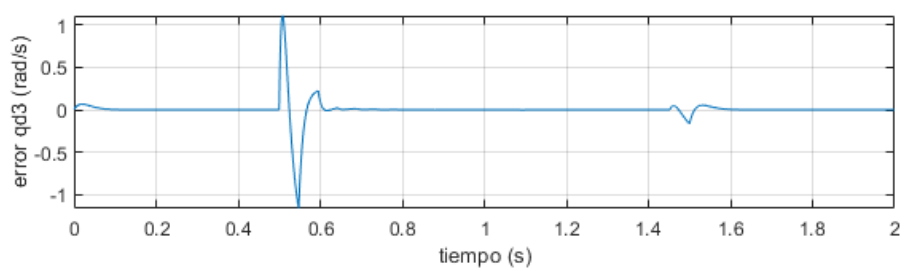
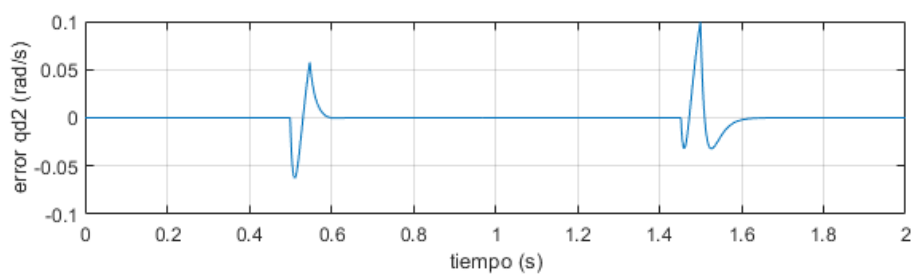
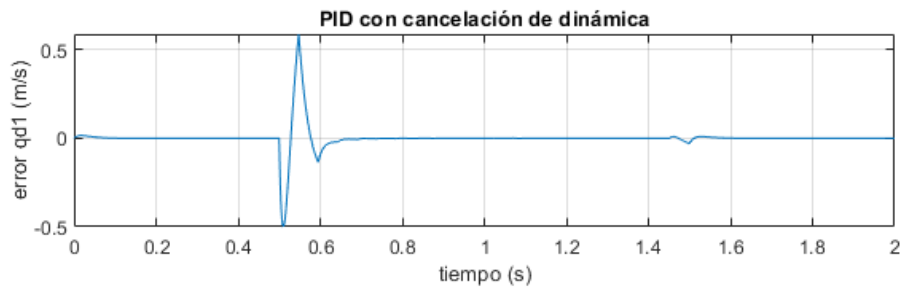
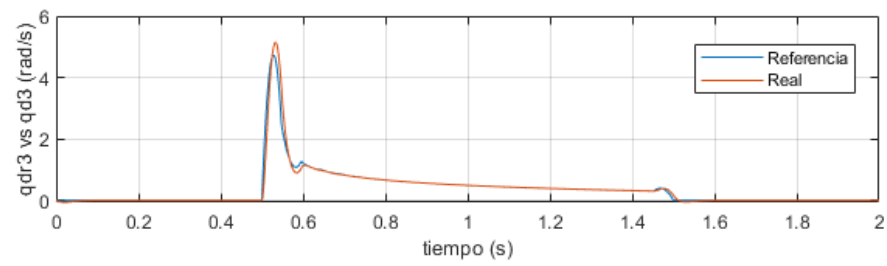
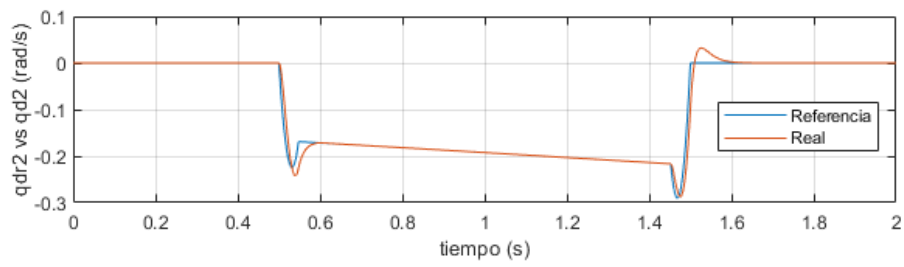
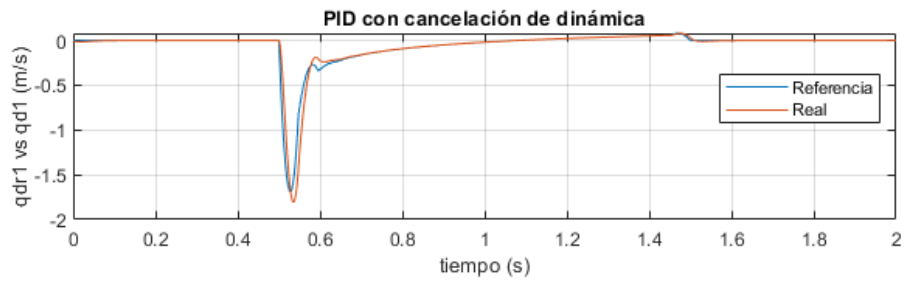
$$K_{p1} = 1.6875 * 10^5; K_{d1} = 5.625 * 10^3; K_{i1} = 81$$

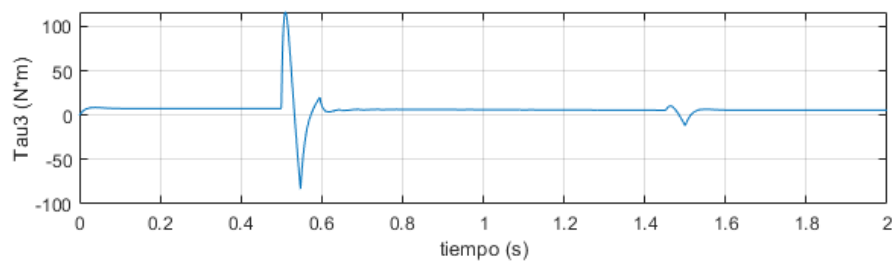
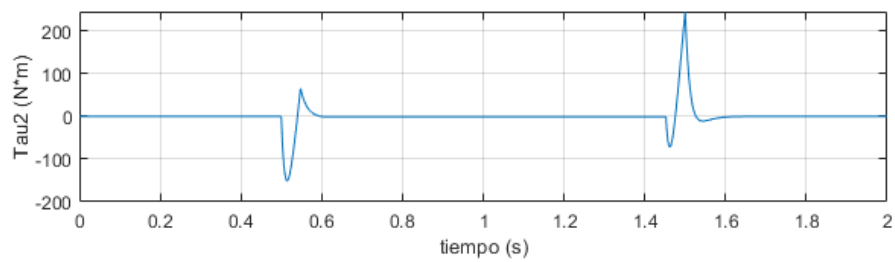
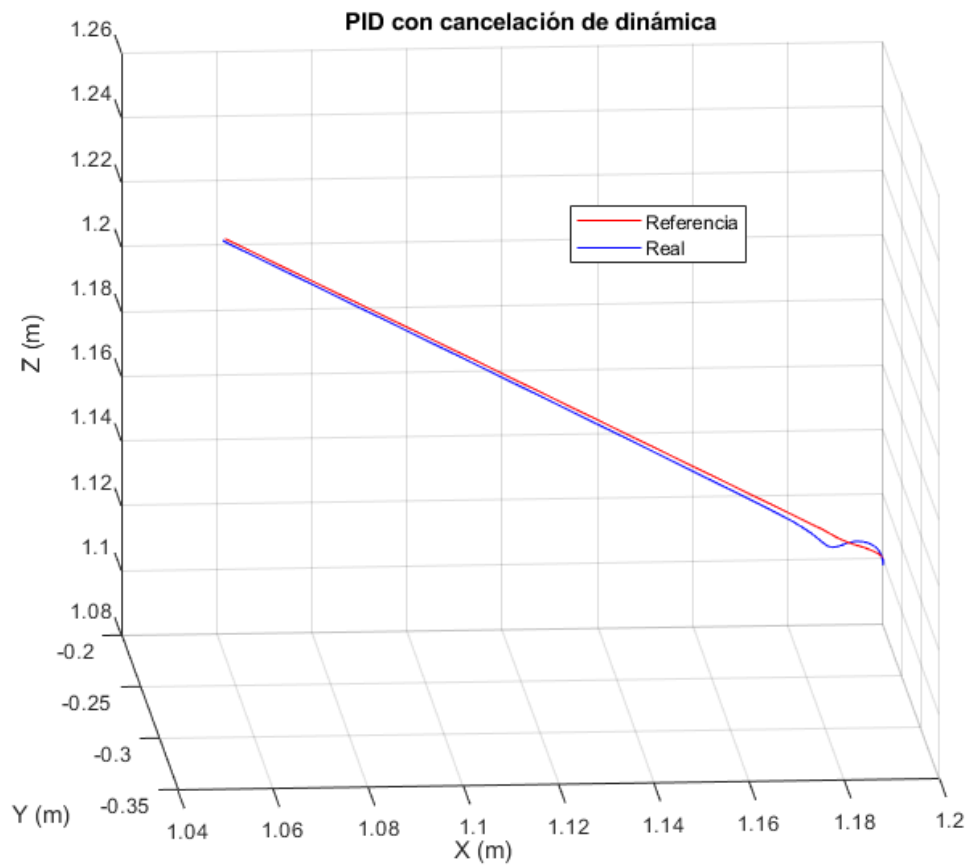
$$K_{p2} = 5.6476 * 10^4; K_{d2} = 1.8825 * 10^3; K_{i2} = 51.84$$

$$K_{p3} = 2.4435 * 10^3; K_{d3} = 81.36; K_{i3} = 81$$

Se obtiene:







### Apartado 3

Por último, se implementará un controlador PD por par calculado, en este caso ya no se hará uso de las funciones de transferencia. Las expresiones usadas son:

$$K_p = \frac{36}{t_s^2} \quad ; \quad K_d = \frac{12}{t_s}$$
$$K_i = 0$$

Imponiéndose nuevamente 0.1 segundos de tiempo de subida. Los parámetros del controlador se encuentran en el archivo "PD\_ParCalculado.m" y son:

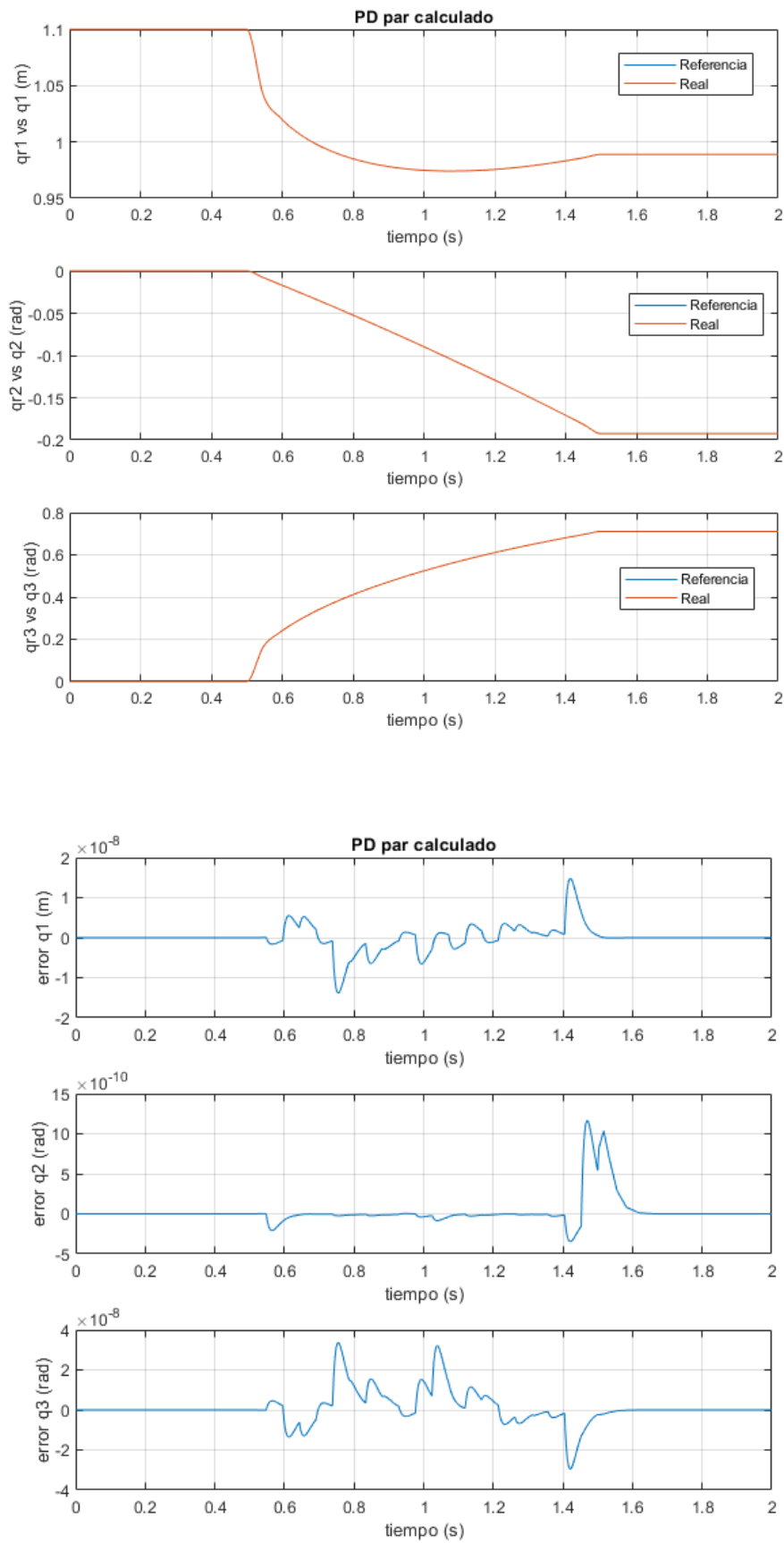
$$K_{p1} = 3.6 * 10^3; K_{d1} = 120; K_{i1} = 0$$

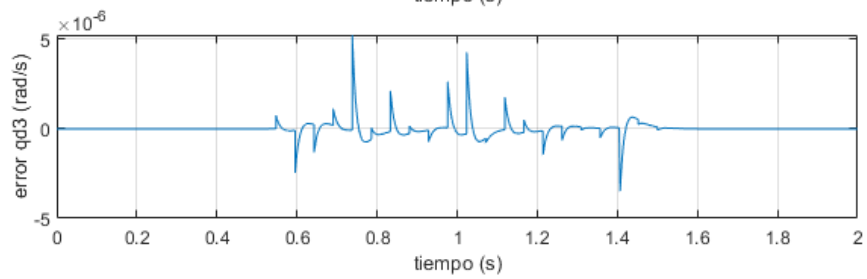
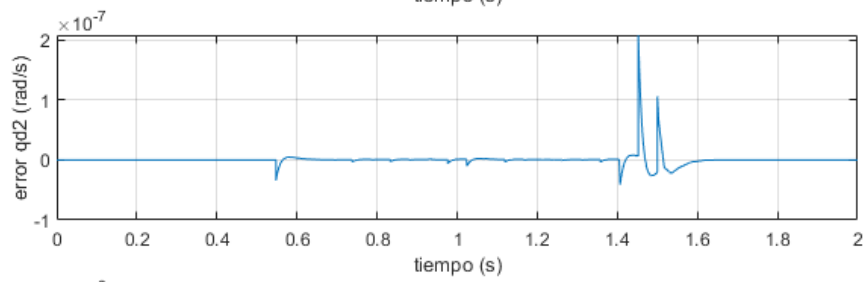
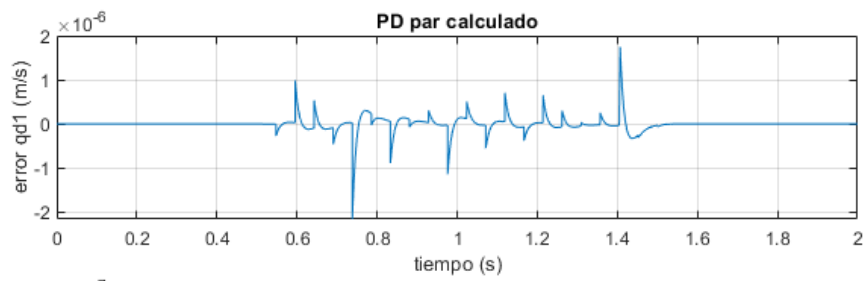
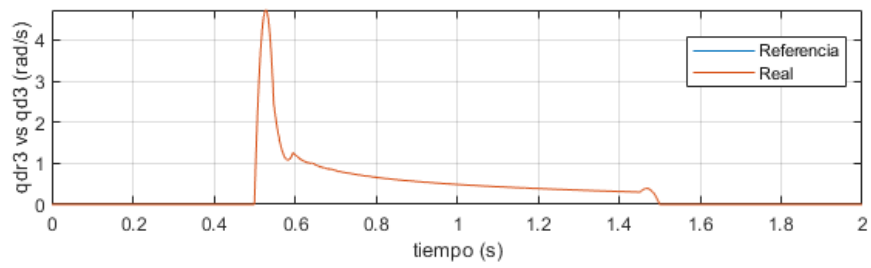
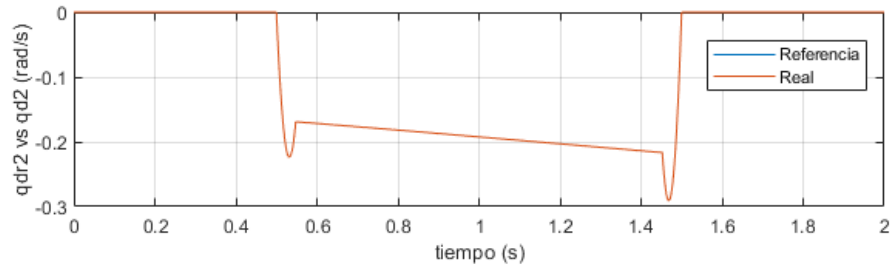
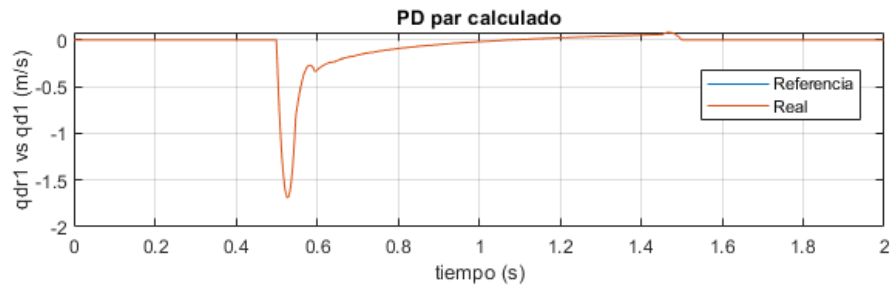
$$K_{p2} = 3.6 * 10^3; K_{d2} = 120; K_{i2} = 0$$

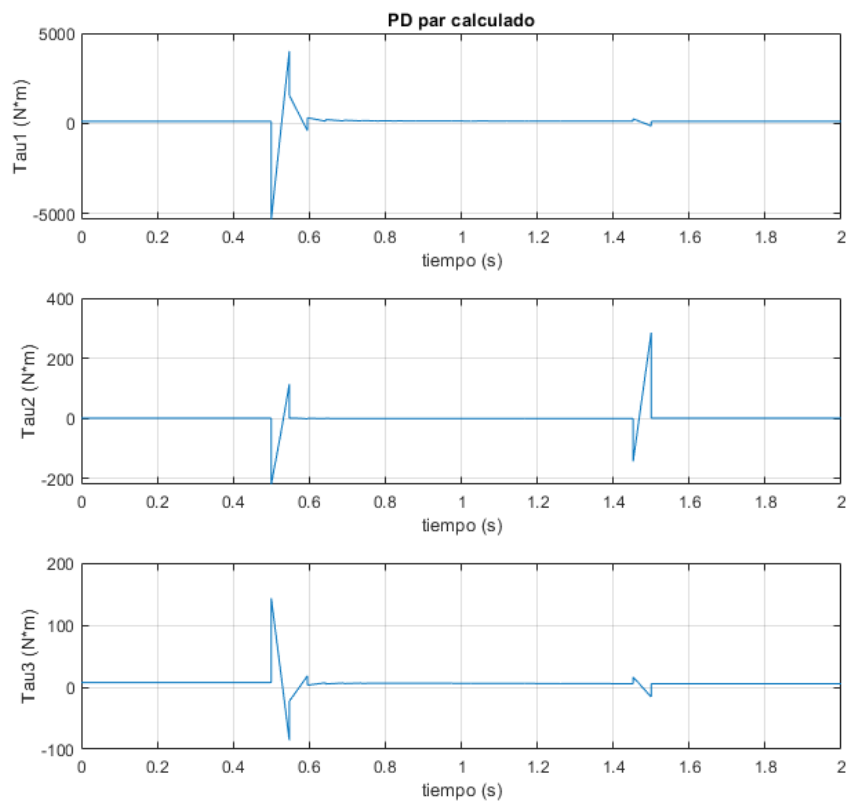
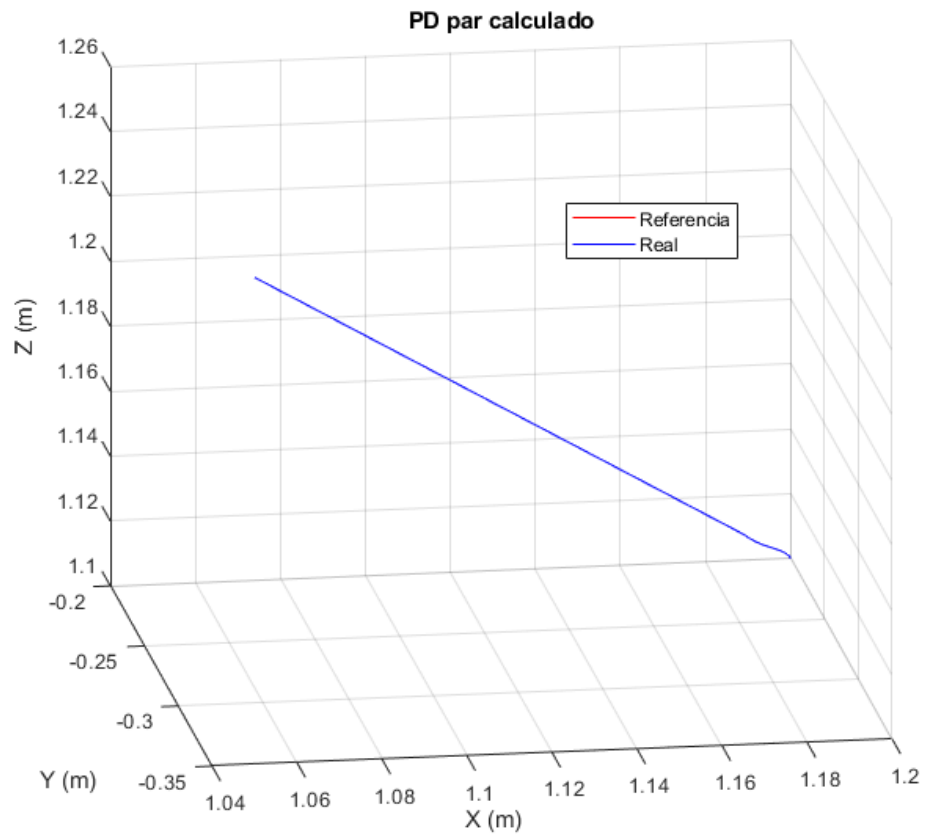
$$K_{p3} = 3.6 * 10^3; K_{d3} = 120; K_{i3} = 0$$



Finalmente se obtiene:







Como se puede observar, el controlador por par calculado es el que proporciona un error más pequeño y que por tanto mejor se adapta a la referencia, sin embargo es el que exige unos pares mayores y unos cambios más bruscos.